

* بررسی تأثیر سرعت ورود مذاب به محفظه‌ی قالب بر چقرمگی شکست آلیاژ منیزیم AZ91

حمیدرضا سعادتی فر^(۱) مهدی میرزا لی^(۲) سید حسین رضوی^(۳) سید محمدعلی بوترابی^(۴)

چکیده

بر روی سطح مناب آلیاژهای منیزیم به دلیل داشتن نرخ بالای اکسایش، به سرعت یک لایه‌ی اکسیدی تشکیل می‌شود. لایه‌های اکسیدی در نتیجه‌ی تلاطم سطحی وارد مناب می‌شوند، و به دلیل فصل مشترک ناپیوسته‌اشان، درون قطعه باقی مانده و بر خواص مکانیکی و اعتمادپذیری قطعات ریختگی تأثیر منفی می‌گذارند. در این پژوهش، تأثیر سرعت بحرانی و دو سرعت بالاتر از آن بر چقرمگی شکست نشان شده است. نتایج نشان دادند که افزایش سرعت از میزان بحرانی آن موجب کاهش چقرمگی شکست قطعات می‌شود، به طوریکه افزایش سرعت از 0.4 m/s (سرعت بحرانی) به 3.0 m/s چقرمگی شکست را تا حدود 40% درصد کاهش داد. افزون بر این، با افزایش سرعت ورود مذاب درون قالب تا 1.0 m/s و 3.0 m/s ، مدول ویبول از میزان 13.34 به ترتیب به مقادیر 7.28 و 4.93 کاهش یافته و پراکنده‌گی نتایج بیشتر شد. تصویرهای SEM نشان دادند که با افزایش سرعت از حد سرعت بحرانی، مقدار و اندازه‌ی لایه‌های اکسیدی به شدت افزایش می‌یابند. افزون بر این، در سرعت‌های بالاتر از سرعت بحرانی لایه‌های دوتایی در سطح مشاهده شدند، و این به دلیل تلاطم سطحی بسیار بالای مذاب در سرعت‌های بالاتر بوده است. بررسی سطح مقطع شکست نشان داد که فرایند شکست در نمونه‌ی ریخته‌گری شده با سرعت بالاتر از سرعت بحرانی از نوع ترد است، درحالیکه سازوکار شکست در سرعت بحرانی از نوع نرم بوده است.

واژه‌های کلیدی سرعت بحرانی، تلاطم سطحی، لایه‌ی اکسیدی، آلیاژ منیزیم AZ91، چقرمگی شکست.

The Effect of Velocity of the Melt Entering the Die Cavity on Fracture Toughness of AZ91 Magnesium Alloy

H.R. Saadatifar

M. Mirzaei

S.H. Razavi

S. M. A. Boutorabi

Abstract

Magnesium alloys in liquid-phase condition form surface oxide films due to their high rate of oxidation. Oxide films enter the melt as a result of surface turbulence, and remain inside the workpiece after solidification. The incoherent nature of their interface causes decreases in mechanical properties and reliability of castings. The effect of critical velocity and greater velocities of entering the melt into the die cavity on fracture toughness has been studied in this research. Results indicated that an increase in the velocity decreases the fracture toughness, e.g. an increase of the velocity from 0.4 m/s (critical gate velocity of magnesium alloys) to 3.0 m/s decreases the fracture toughness for about 40% . Furthermore, increasing the velocity of melt entering the mold from 0.4 m/s to 1.0 and 3.0 m/s resulted in a decrease in the Weibull modulus from 13.34 to 7.28 and 4.93 , respectively, and consequently, caused the results to be more scattered. SEM micrographs showed that increasing the velocity beyond the critical value increases significantly the quantity and size of the oxide films. Moreover, for the case of speeds greater than the critical value, double-layer films are observable due to considerable surface turbulence of the melt. Analysis of the fractured surfaces also showed that the failure mode of specimens produced using velocities greater than the critical value is of brittle type, whereas it was found to be ductile for the case of critical velocity.

Key Words critical velocity, surface turbulence, oxide film, magnesium alloy AZ91, fracture toughness.

* نسخه‌ی نخست مقاله در تاریخ ۸۹/۱۰/۱ و نسخه‌ی پایانی آن در تاریخ ۹۱/۴/۳۱ به دفتر نشریه رسیده است.

(۱) نویسنده‌ی مسئول: دانشجوی کارشناسی ارشد، دانشکده‌ی مهندسی مواد و متالورژی، دانشگاه علم و صنعت ایران

(۲) دانشجوی کارشناسی ارشد، دانشکده‌ی مهندسی مواد و متالورژی، دانشگاه علم و صنعت ایران

(۳) استاد دانشکده‌ی مهندسی مواد و متالورژی، دانشگاه علم و صنعت ایران

(۴) استاد دانشکده‌ی مهندسی مواد و متالورژی، دانشگاه علم و صنعت ایران

لایه‌های سطحی با لایه‌های زیرین حتمی است [۸]. چقرمگی شکست یکی از خواص مکانیکی است که کمتر در تحقیقات به آن پرداخته می‌شود. چقرمگی شکست، قابلیت مواد در جذب انرژی و تغییر شکل مومسان قبل از شکست را نشان می‌دهد. در این تحقیق، به جنبه‌های مختلف تأثیر سرعت ورود مذاب AZ91 به قالب بر روی چقرمگی شکست آلیاز منیزیم پرداخته شده است. این آلیاز یکی از آلیازهای مهم ریخته‌گری است که در این تحقیق، نقش سرعت بحرانی بر روی چقرمگی شکست آن مطالعه می‌شود.

روش تحقیق

در این تحقیق، آلیاز منیزیم-آلومینیم (AZ91) با ترکیب شیمیایی نشان داده شده در جدول (۱) مورد مطالعه قرار گرفته است. برای طراحی سیستم راه‌گاهی از نموگرام کمبل استفاده شد. ابتدا آهنگ پر شدن قطعه به میزان $1/6$ Kgs^۱ تعیین شد. با استفاده از این نموگرام، مساحت بالای راه‌گاه باربریز برای قطعه‌ای به جرم $1/15$ Kgs^۱، برابر با 500 mm^2 یا دایره‌ای به قطر 25 mm به دست آمد. مساحت راه‌باره برای این شرایط برابر با 650 mm^2 تعیین شد. افزون بر این، با در نظر گرفتن ارتفاع باربریز به اندازه mm 200 ، مساحت پایین راه‌گاه باربریز تقریباً برابر با 270 mm^2 یا دایره‌ای به قطر $18/5\text{ mm}$ تعیین شد.

جدول ۱ ترکیب شیمیایی آلیاز AZ91 ریخته‌گری شده

عنصر آلیازی	Al	Zn	Mn	Si	Cu	Mg
درصد وزنی	۸/۱	۰/۹۷	۰/۲۲	۰/۰۳	۰/۰۴	۹۰/۶۱

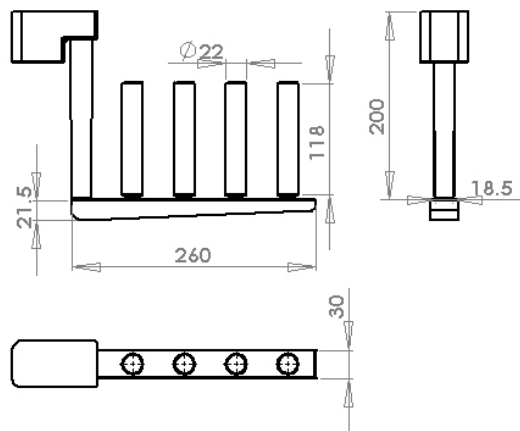
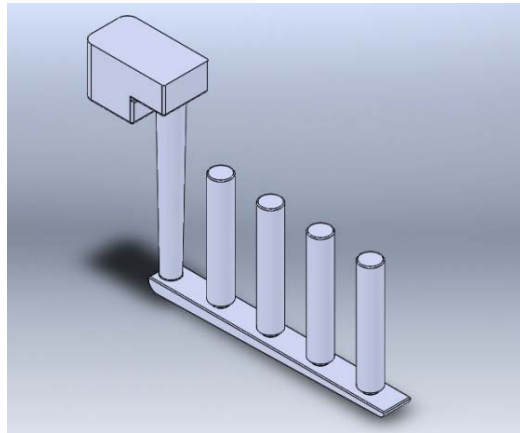
سطح مقطع راه‌بار مستطیل شکل به گونه‌ای طراحی شد که نسبت عرض به ضخامت آن 2 به 1 باشد [۹]. بر این مبنای، مساحت به دست آمده برای راه‌بار برابر با 650 mm^2 ، و عرض و ضخامت آن به ترتیب برابر با 30 و $۲۱/۵$ میلی‌متر تعیین شد. افزون بر این،

مقدمه

امروزه کاربرد آلیازهای منیزیم در سازه‌های سبک و قابل اعتماد از اهمیت بسیاری برخوردار شده است. چگالی فلز خالص منیزیم تقریباً دو سوم آلومینیم و یک چهارم آهن است. آلیازهای منیزیم دارای مزایای ویژه‌ای هستند از جمله چگالی پایین، قابلیت بسیار خوب جذب ارتعاش، قابلیت ماشین‌کاری مناسب، انقباض ریخته‌گری کم، ثبات ابعادی بسیار خوب، استحکام ویژه‌ی بالا، عدم فرسایش در قالب، گرمای ذوب کم، حافظت خوب در برابر امواج الکترومغناطیس. با این وجود، نقاط ضعفی هم از جمله مقاومت ناکافی، از دیاد طول کم، مقاومت کم در برابر گرما و آسیب پذیری در برابر خوردگی دارند [۱,2,3]. لایه‌های اکسیدی نقش مخربی بر خواص مکانیکی آلیازهای منیزیم دارند. گزارش شده است که لایه‌های اکسیدی می‌توانند استحکام و مقاومت به خستگی قطعات ریختگی را به میزان قابل توجهی کاهش دهند [۴]. در ریخته‌گری آلومینیم، رعایت سرعت بحرانی باعث تولید قطعات ریختگی با کیفیت و با خواص مکانیکی بهتر می‌شود [۵].

صدمات ناشی از ورود مذاب متلاطم به محفظه‌ی قالب از دیدگاه‌های مختلف بررسی شده است. از سال ۱۹۵۰ میلادی، تحقیقات بر روی سرعت بحرانی توسط الیوت و استوود شروع شده است [۶]. رانیرو، بوترابی و کمبل در سال ۱۹۹۲ با استفاده از فیلم‌برداری فوران آزاد مذاب، سرعت بحرانی را برای فلز آلومینیم نسبتاً خالص برابر با $0/5\text{ m/s}$ تعیین کردند [۵]. بحرینیان سرعت بحرانی آلیاز منیزیم ZK51 را به روش فوران آزاد برابر با $0/5\text{ m/s}$ و در شرایط ورود به قالب برابر با $0/3\text{ m/s}$ اندازه‌گیری کرد [۷]. میرک نشان داد که تغییر مُرفولوژی جبهه‌ی مذاب از حالت لایه‌ای به قارچی شکل در محدوده سرعت $0/3-0/5\text{ m/s}$ انجام شده و در سرعت‌های بالاتر از 1 m/s ، مُرفولوژی جبهه مذاب به شکل فورانی درآمده و در این شرایط، اختلاط

شدند (شکل ۲).



شکل ۱ طرح سیستم راهگاهی پرشونده از زیر برای ساخت نمونه‌های آزمون مکانیکی

از یک فلاکس با نام تجاری مگرکس (Magrex) برای حفاظت منیزیم در برابر اکسایش استفاده شد. فلاکس از دمای حدود 40°C به شارژ کوره افزوده شد تا از ابتدا بتواند اکسیژن را از محفظه کوره حذف کند. باربریزی در دمای 740°C و پس از عملیات شلاکه‌گیری انجام شد. برای این‌منظور، از یک بوته فولادی ۵۰۰ گرمی پیش گرم شده استفاده شد. برای بررسی تأثیر سرعت ورود مذاب آلیاژ منیزیم به درون قالب بر چقرومگی شکست، از آزمون کشش برای اندازه‌گیری استحکام نمونه‌های استاندارد بدون شیار و شیاردار استفاده شد. نمونه‌های استاندارد مطابق

سطح مقطع راهباره برای جاری شدن یکنواخت مذاب درون آن، به‌شکل کاهشی طراحی شد.

با توجه به این‌که در این تحقیق، ریخته‌گری می‌باید با سرعت بحرانی و دو سرعت دیگر انجام می‌شد، سرعت 0.4 m/s به عنوان سرعت بحرانی، و سرعت‌های بالاتر به میزان‌های 1.0 m/s و 3.0 m/s انتخاب شدند. با توجه به معادلات مکانیک سیالات، قطر راهباره برای رسیدن به این سرعت‌ها محاسبه شد. برای رسیدن به سرعت بحرانی 0.4 m/s و دو سرعت دیگر، 1.0 m/s و 3.0 m/s ، قطر هر یک از راهباره‌ها در هر حالت به ترتیب برابر با 16.5 ، 10.4 و 6 میلی‌متر تعیین شد. با در نظر گرفتن مجموعه اطلاعات ذکر شده، سیستم راهگاهی شکل (۱) طراحی شد.

مدل چوبی مورد نظر برای ساخت قطعه، بر اساس نتایج محاسبات فوق‌الذکر طراحی شد. بر این مبنای، مدل چوبی به گونه‌ای طراحی شد تا سطح جدایش در قالب‌گیری به صورت افقی و در ریخته‌گری به صورت عمودی باشد تا به‌این وسیله، پر شدن قالب از زیر و به صورت تپر تضمین شود.

کوره‌ی ذوب مورد استفاده در این تحقیق از نوع مقاومتی بود، و محافظه‌ی آن به‌شکل استوانه‌ای به عمق 0.5 متر و قطر دهانه‌ی 0.3 متر بود. افزون بر این، مذاب در یک بوته‌ی گرافیتی به ظرفیت 20 کیلوگرم منیزیم تهیه شد. در مرحله‌ی قالب‌گیری، ترکیبی از ماسه‌ی سیلیسی با 4 درصد چسب سیلیکات سدیم و 5 درصد پودر گوگرد خشک در یک دستگاه مخلوط‌کن به ظرفیت 200 کیلوگرم به مدت 5 دقیقه مخلوط شدند. پس از پایان مراحل آماده‌سازی، دو لنگه از قالب‌ها بر روی هم قرار گرفتند. پس از آن، قالب‌ها از زیر و رو بر روی صفحه‌های فلزی قرار داده شدند و با استفاده از گیره به آن‌ها قفل شدند. سپس، به صورت عمودی بر روی یک سطح نرم ماسه‌ای قرار داده شدند، و به‌این ترتیب برای انجام ریخته‌گری آماده

ln(NTS/TYS) محاسبه شد.

با استاندارد B646 و ASTM E602 ماشین کاری شدند.

نتایج و تحلیل

نتایج نشان می‌دهند که مقادیر استحکام تسلیم نمونه‌های بدون شیار در سرعت ورود مذاب به قالب برابر با 0.4 m/s , در محدوده‌ی $0.7/2 \text{ MPa}$ تا $1.6/5 \text{ MPa}$ تغییر می‌کنند، در حالی که این دامنه‌ی تغییرات در سرعت 0.4 m/s بین $0.2/3 \text{ MPa}$ و $0.2/4 \text{ MPa}$ قرار دارد. افزون بر این، مقادیر استحکام کششی نمونه‌های شیاردار ریختگی به‌ازای سرعت 0.4 m/s در محدوده‌ی $1.1/4 \text{ MPa}$ تا $1.8/9 \text{ MPa}$ قرار دارد، ولی دامنه‌ی تغییرات آن در سرعت 0.4 m/s بین $0.9/1 \text{ MPa}$ و $0.9/9 \text{ MPa}$ قرار گرفته است.

نتایج مربوط به چقرمگی شکست نمونه‌ها که از تقسیم استحکام کششی نمونه‌های شیاردار به استحکام تسلیم نمونه‌های بدون شیار (NTS/TYS) به‌دست آمده‌اند، برای سرعت ریخته‌گری 0.4 m/s بین $0.8/1 \text{ MPa}$ تا $0.9/7 \text{ MPa}$ متغیر است (با میانگین $0.8/8 \text{ MPa}$). این در حالی است که برای سرعت‌های ریخته‌گری 0.4 m/s و 0.3 m/s به ترتیب در دامنه‌ی $0.7/3 \text{ MPa}$ تا $0.9/4 \text{ MPa}$ و $0.5/8 \text{ MPa}$ تا $0.7/3 \text{ MPa}$ تغییر می‌کنند (با میانگین‌های به ترتیب $0.8/4 \text{ MPa}$ و $0.8/0 \text{ MPa}$).

نتایج نشان می‌دهند که با افزایش سرعت ورود مذاب به قالب، اختلاف استحکام تسلیم نمونه‌های بدون شیار بیش از $2/5$ برابر افزایش یافته است. این اختلاف در نمونه‌های شیاردار به بیش از 12 برابر رسیده است. شکل (۳) و (۴) نمودارهای استحکام تسلیم نمونه‌های بدون شیار و استحکام کششی نمونه‌های شیاردار را در سرعت‌های مختلف ریخته‌گری نشان می‌دهند. اختلاف بین استحکام تسلیم نمونه‌های بدون شیار در سرعت‌های بالاتر از سرعت بحرانی به دلیل افزایش لایه‌های اکسیدی حاصل از جریان مذاب و تلاطم سطحی بیشتر آن هنگام ورود به قالب، ایجاد شده است. این باعث می‌شود تا لایه‌های اکسیدی به مقادیر بیشتر و به صورت پراکنده و

ASTM B646 نتایجی که بر اساس استاندارد (NTS/TYS) به‌دست می‌آیند، معیار بسیار خوبی برای چقرمگی شکست ماده هستند. با استفاده از نتایج آزمون کشش، استحکام کششی نمونه‌های شیاردار و استحکام تسلیم نمونه‌های بدون شیار تعیین می‌شود. پس از آن، نسبت استحکام کششی نمونه‌ی استاندارد شیاردار (NTS) به استحکام تسلیم نمونه‌ی استاندارد بدون شیار (TYS) تعیین می‌شود. این نسبت به اختصار با NYR یا (NTS/TYS) نشان داده می‌شود. این نسبت به عنوان معیاری معتبر برای چقرمگی شکست (K_{IC}) یا (K_Q) در نظر گرفته می‌شود.



شکل ۲ قالب‌های آماده شده برای ریختن مذاب

تأثیر سرعت ورود مذاب بر پراکنده‌ی مقادیر چقرمگی شکست نمونه‌های ریختگی با استفاده از مدل توزیع جمعی ویبول بررسی شد. در تحلیل ویبول، کسر تجمعی نمونه‌ها بر اساس رابطه‌ی زیر محاسبه شد:

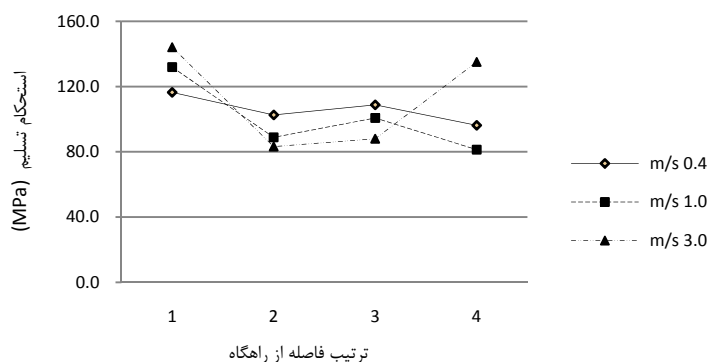
$$F_W = \frac{n^{\frac{0}{3}}}{N^{\frac{0}{4}}} \quad (1)$$

و شیب هر خط به عنوان مدول ویبول برای هر نمونه با رسم نمودار تغییرات $\ln\left(\frac{1}{1-F_W}\right)$ بر حسب

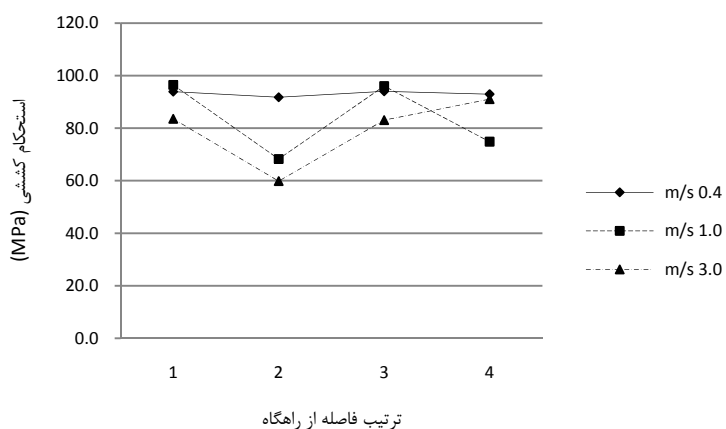
برابر است. وجود هرگونه ناپیوستگی درون قطعه باعث می‌شود تا تنش در ناحیه‌ی نزدیک به آن بیش از تنش متوسط در فاصله‌های دور از آن شود. بنابراین، تمرکز تنش در ناپیوستگی یا منبع تنش رخ می‌دهد. با حضور شیار در یک جسم، تنش موضعی بیشینه‌ای در نوک آن ایجاد می‌شود. با این حال، تأثیر مهم و اصلی شیار ایجاد تمرکز تنش نیست، بلکه ایجاد تنش سه‌محوری در مجاورت خود است. افزون بر این، وجود شیار در یک جسم با ایجاد کارسختی موضعی زیاد و ترک خوردنگی و نیز، با ایجاد نرخ کرنش موضعی زیاد، تمایل به شکست ترد را در ماده افزایش می‌دهد.

تصادفی در قطعه توزیع شوند. بنابراین، در نمونه‌هایی که تجمع لایه‌های اکسیدی در بخش شکست آن بیش‌تر است، استحکام بیش‌تر کاهش می‌یابد و بر عکس، در قطعاتی که لایه‌های کم‌تری در مقطع شکست توزیع شده‌اند، استحکام بیش‌تری به دست می‌آید. به این ترتیب، اختلاف استحکام در نمونه‌هایی که با سرعت بیش‌تری از سرعت بحرانی وارد قالب می‌شوند، توجیه می‌شود.

اختلاف استحکام کششی در نمونه‌های شیاردار بسیار بیش‌تر دیده می‌شود، به گونه‌ای که در هر دو سرعت 10 m/s و 30 m/s میزان اختلاف حدود ۱۲



شکل ۳ نمودار مقایسه‌ای استحکام تسیلم نمونه‌های بدون شیار به ازای سرعت‌های مختلف ورود مذاب به قالب



شکل ۴ نمودار مقایسه‌ای استحکام کششی نمونه‌های شیاردار به ازای سرعت‌های مختلف ورود مذاب به قالب

دشته باشد، مقدار به دست آمده بسیار نزدیک به مقادیر ذکر شده در مراجع است [12]. همان‌گونه که در شکل (۵) مشاهده می‌شود، میزان پراکندگی چقرمگی شکست در سرعت $0/4 \text{ m/s}$ بسیار کم‌تر از سرعت‌های بالاتر از سرعت بحرانی است، به‌گونه‌ای که اختلاف بزرگ‌ترین و کوچک‌ترین مقدار چقرمگی شکست در نمونه‌های مختلف به‌ازای سرعت بحرانی برابر با $0/16$ می‌باشد، و برای دو سرعت دیگر به ترتیب با رشد 37 و 125 درصد، به مقادیر $0/22$ و $0/36$ افزایش یافته است. همان‌طور که قبل از این ذکر شد، کاهش چقرمگی شکست و افزایش پراکندگی آن در سرعت‌های بالاتر از سرعت بحرانی به دلیل وجود تلاطم سطحی بیش‌تر در مذاب وارد شده به قالب در سرعت‌های بالاتر از سرعت بحرانی است. افزایش تلاطم مذاب در هنگام ورود به قالب به معنی اکسایش بیش‌تر مذاب و ورود بیشتر اکسیدها و لایه‌های دوغانه درون قالب است. افزایش بیش‌تر این ناخالصی‌ها درون قطعه به معنی وجود ریزترک‌های بیش‌تر در قطعه است که باعث کاهش چقرمگی شکست می‌شوند.

بررسی تصویرهای SEM نشان می‌دهد که افزایش حضور لایه‌های اکسیدی با افزایش سرعت ورود مذاب درون قالب مناسب است. در شکل (۶)، تصویرهای مقطع شکست نمونه‌ی ریخته‌گری شده با سرعت $0/4 \text{ m/s}$ نشان داده شده‌اند. در این تصویرها، دندریت‌ها و محل‌های جدایش آن‌ها به همراه لایه‌های اکسیدی ضعیف و حفره‌های انقباضی قابل مشاهده‌اند. همان‌گونه که مشاهده می‌شود، اگرچه در سرعت بحرانی شکست در بخش کوچکی از مناطق و در امتداد لایه‌های اکسیدی رخ داده است، ولی بیش‌تر از محل جدایش دندریت‌ها اتفاق افتاده است.

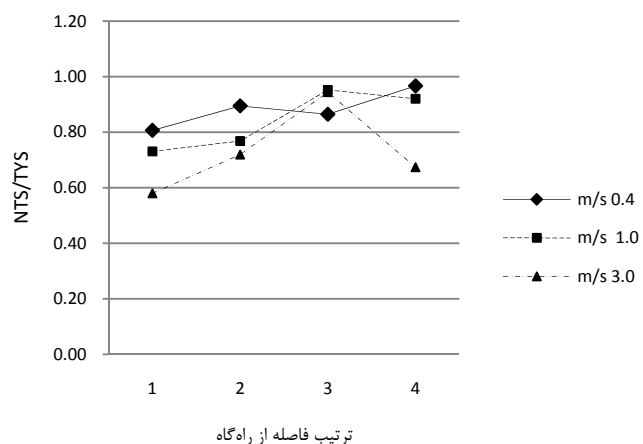
در نمونه‌هایی که در آن‌ها مذاب با سرعتی بالاتر از سرعت بحرانی پر شده است، اگر لایه‌های اکسیدی در محل شکست توزیع شده باشند، شیار با ایجاد تمرکز تنش در رأس لایه‌ی اکسیدی و لایه‌ی دوتایی باعث می‌شود تا ترک حاصل از آن به سرعت گسترش یابد. در این شرایط، نمونه با تنش کم‌تری تسليم شده و شکست رخ می‌دهد. بنابراین، اختلاف استحکام تسليم بیش‌تری در نمونه‌های شیاردار بوجود می‌آید. همان‌طور که در شکل‌های (۳) و (۴) مشاهده می‌شود، پراکندگی در استحکام تسليم نمونه‌های ریخته شده در سرعت بحرانی به دلیل سالم‌تر بودن آن‌ها و حضور بسیار کم‌تر لایه‌های اکسیدی در آن‌ها، چه در حالت بدون شیار و چه شیاردار، بسیار کم‌تر دیده می‌شود. بر عکس، پراکندگی استحکام تسليم در سرعت‌های بالاتر بسیار بیش‌تر مشاهده می‌شود. در شکل (۵)، نمودارهای تغییرات NTS/TYS به صورت مقایسه‌ای آورده شده است. افزون بر این مقادیر میانگین NTS/TYS به‌ازای سرعت‌های مختلف ریخته‌گری در جدول (۲) آمده‌اند.

جدول ۲ مقادیر میانگین نسبت NTS/TYS به‌ازای سرعت‌های

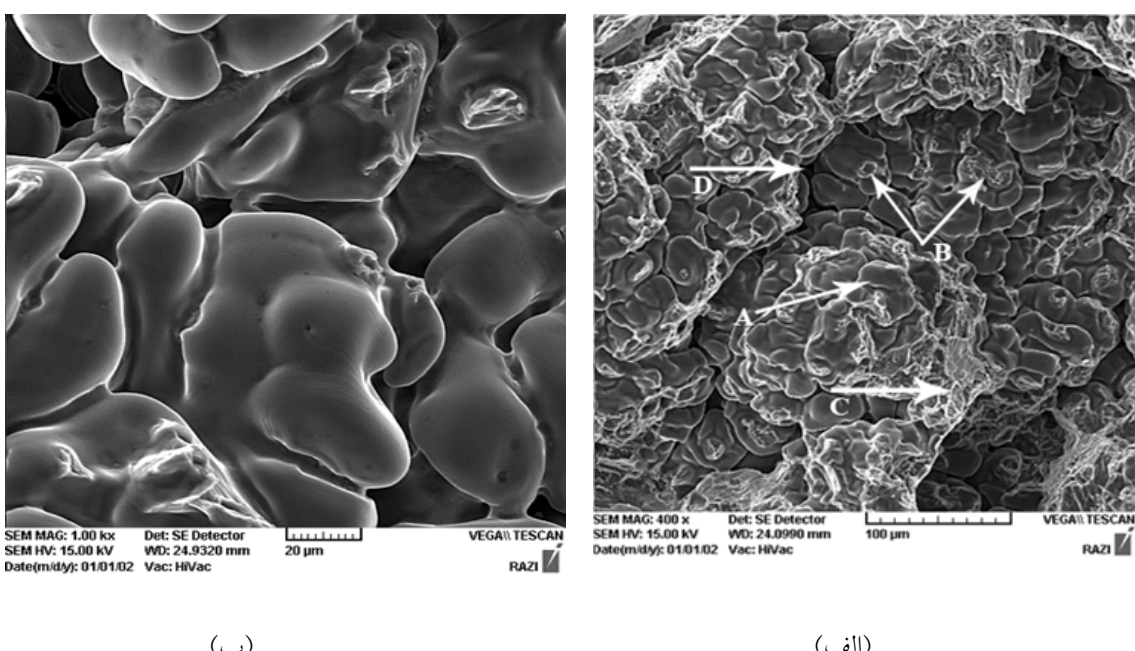
مختلف ریخته‌گری

میانگین	سرعت ورود مذاب به قالب m/s	NTS/NYS
	$0/4$	$0/88$
	$1/0$	$0/84$
	$3/0$	$0/73$

همان‌طور که دیده می‌شود، مقدار میانگین چقرمگی شکست نمونه‌های ریخته‌گری شده با سرعت $0/4 \text{ m/s}$ بزرگ‌تر از دو سرعت دیگر است. افزون بر این، با افزایش سرعت ورود مذاب به قالب چقرمگی شکست کاهش یافته است. در صورتی که سرعت ورود مذاب به قالب در محدوده‌ی سرعت بحرانی قرار



شکل ۵ نمودار مقایسه‌ای مقادیر NTS/TYS به دست آمده در سرعت‌های مختلف ورود مذاب درون قالب



شکل ۶ تصویرهای مقطع شکست نمونه‌ی ریخته‌گری شده با سرعت $4/0\text{ m/s}$ (الف) بزرگنمایی 400 برابر، (ب) بزرگنمایی 1000 برابر.
(A) لایه‌های اکسیدی ضعیف، (D) حفره‌های انقباضی (C) محل‌های جدایش دندریت‌ها، (B) دندریت‌ها، (E) لایه‌های اکسیدی ضعیف، (D) حفره‌های انقباضی

در سرعت‌های بالا قابل مشاهده‌اند، ولی پراکندگی بسیار زیاد لایه‌های اکسیدی مانع از مشاهده‌ی واضح آن‌ها شده است.

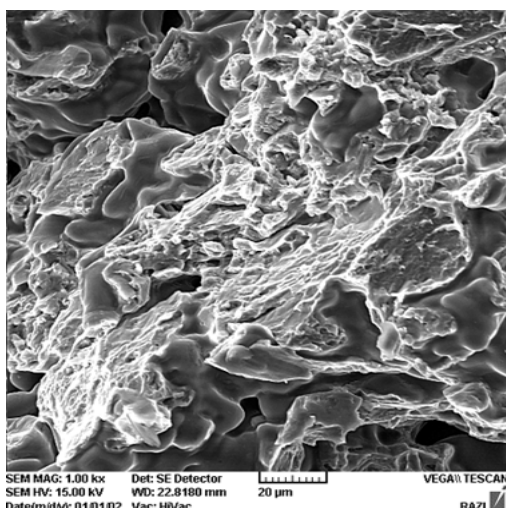
با این‌که میزان لایه‌های اکسیدی در سرعت $3/0\text{ m/s}$ در مقایسه با سرعت $4/0\text{ m/s}$ بسیار بیشتر

در تصویرهای شکل (۷)، مقطع شکست نمونه‌ی ریخته‌گری شده با سرعت $3/0\text{ m/s}$ نشان داده شده است. در این تصویرها، حضور بسیار زیاد و پر تجمع لایه‌های اکسیدی باعث شده است تا شکست بیشتر در امتداد لایه‌های اکسیدی باشد. اگرچه که دندریت‌ها

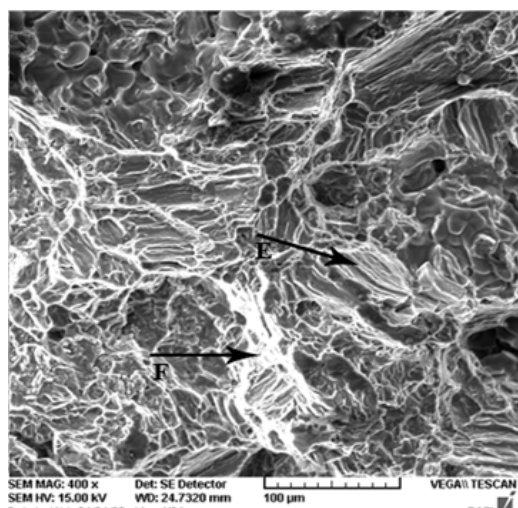
آورده شده‌اند. همان‌گونه که ملاحظه می‌شود، مدول ویبول در سرعت $0/4 \text{ m/s}$ به $13/34$ رسیده است، در حالی که در سرعت‌های بالاتر از سرعت بحرانی و برای سرعت‌های $1/0 \text{ m/s}$ و $3/0 \text{ m/s}$ ، مدول ویبول به ترتیب تا مقادیر $7/28$ و $4/93$ کاهش یافته است. به عبارت دیگر، در سرعت‌های بالاتر از سرعت بحرانی توزیع مدول ویبول برای چقرمگی شکست به حدود نصف و حتی کمتر از آن کاهش یافته است. نتایج نشان می‌دهند که در سرعت‌های بالاتر از سرعت بحرانی، به دلیل وجود تلاطم سطحی، چقرمگی شکست کمتر و توزیع آن گسترده‌تر است.

است، ولی اندازه و بزرگی آنها نیز به مراتب بزرگ‌تر به چشم می‌آید، به گونه‌ای که حضور لایه‌های دوتایی در سرعت بالاتر از حد بحرانی بسیار محسوس و قابل ملاحظه است. تصویرهای با بزرگ‌نمایی بالاتر نشان می‌دهند که شکست در سرعت بحرانی از نوع نرم است، ولی لبه‌های تیزتر شکست در سرعت ریخته‌گری بالاتر نشانه‌ای از وقوع شکست ترد است.

پراکندگی نتایج مربوط به چقرمگی شکست با روش تحلیل توزیع تجمعی ویبول مدل شده است. در جدول (۳)، ضریب‌های عددی معادلات خطوط نمودار ویبول در سرعت‌های مختلف ورود مذاب به قالب



(ب)



(الف)

شکل ۷. تصویرهای مقطع شکست نمونه‌ی ریخته‌گری شده با سرعت $3/0 \text{ m/s}$ ؛ (الف) بزرگ‌نمایی 400 برابر،

(ب) پرگ‌نمایی 100 برابر. (E) لایه‌های اکسیدی، (F) لایه‌ی دوتایی

جدول ۳ ضریب‌های عددی خطوط نمودار ویبول در سرعت‌های مختلف ورود مذاب به قالب

سرعت ورود مذاب به قالب (m/s)	m	R^2
$0/4$	$13/34$	$0/99$
$1/0$	$7/28$	$0/88$
$3/0$	$4/93$	$0/98$

ورود این لایه عامل اصلی کاهش چقرمگی شکست قطعه است.

۳. با تحلیل تأثیر تلاطم سطحی بر پراکندگی خواص مکانیکی بهوسیله‌ی روش ویبول، مدول ویبول 0.4 m/s نمونه‌های ریخته‌گری شده با سرعت حدوداً برابر با $13/34$ به دست آمد، و با افزایش سرعت مذاب به $1/0 \text{ m/s}$ و $3/0 \text{ m/s}$ ، مقدار آن به ترتیب به $7/28$ و $4/93$ کاهش یافت. بنابراین، قطعات ریخته‌گری شده در شرایط آرام و بدون تلاطم (ورود مذاب با سرعت‌هایی کمتر از سرعت بحرانی) از درجه‌ی اطمینان بالاتری برخوردارند.

نتیجه گیری

۱- با افزایش سرعت ورود مذاب به قالب، چقرمگی شکست نمونه‌های ریخته‌گری شده به شدت کاهش یافت.

۲- بررسی تصویرهای میکروسکپی نشان دادند که با افزایش سرعت ورود مذاب به قالب، میزان و اندازه‌ی لایه‌های اکسیدی افزایش چشم‌گیری می‌یابند. این رفتار نشان داد که تلاطم سطحی ناشی از افزایش سرعت مذاب از میزان بحرانی آن موجب تغییر مرُفولوژی سطحی مذاب می‌شود. نتیجه آن‌که لایه‌ی سطحی تاخورده به درون مذاب وارد شده و پراکندگی آن در قطعه را به دنبال دارد.

مراجع

1. L. A. Dobrzanski, T. Tanski, J. Domagala, L. Cizek, "Mechanical properties of magnesium casting alloys", *Journal of Achievements in Materials and Manufacturing Engineering*, Vol. 24, pp. 99-102, (2007).
2. L. A. Dobrzanski, T. Tanski, L. Cizek, Z. Brytan, "Structure and properties of magnesium cast alloys", *Jurnal of Material Processing Technology* 192-193, pp. 567-574, (2007)
3. Horst E. Friedrich, Barry L. Mordike, "Magnesium technology: metallurgy, design, applicationas", Springer, pp.1-4, (2006).
4. Q. G. Wang, P. N. Crepeau, J. R. Davidson, "The Effect of Oxide Films and Properties on Fatigue of Cast Aluminum Alloys", pp.205-215, (2005).
5. J. Runyoro, S. M. A. Boutorabi J. Campbell, "Critical Gate Velocities for Film-Forming Casting Alloys: A Basis for Process Specifications", AFS Trans, pp. 225-234, (1992).
6. L. W. Eastwood, H. E. Elliot, "Magnesium casting", AFS Trans., Vol 58, pp. 103-107, (1950).
7. بحرینیان، ف.، بوترابی، س.، "بررسی تئوری سرعت بحرانی در آلیاژ منیزیمی (ZK51)"، پایان نامه کارشناسی ارشد دانشگاه علم و صنعت ایران، (۱۳۷۵).
8. میرک، ع.، دیواندری، م.، بوترابی، س.، "اثر سرعت جریان ورود مذاب به محفظه قالب بر خواص مکانیکی قطعات ریختگی آلیاژ منیزیم (AZ91)"، پایان نامه دکتری تخصصی دانشگاه علم و صنعت ایران، (۱۳۸۶).
9. محمد علی بوترابی، غلامرضا کرزاوی، بهرام مصلح، شهروز نقیسی، "نگرشی نوین بر طراحی سیستم‌های راهگاهی"، دانشگاه علم و صنعت ایران، نگارش دوم، (۱۳۸۰).

-
10. M. M. Avedesian, H. Baker, "Magnesium and magnesium alloys", ASM specialty Handbook, ASM International, Ohio, (1999).